

Министерство образования Республики Беларусь

Учреждение образования
БЕЛОРУССКИЙ ГОСУДАРСТВЕННЫЙ УНИВЕРСИТЕТ
ИНФОРМАТИКИ И РАДИОЭЛЕКТРОНИКИ

Факультет информационных технологий и управления

Кафедра информационных технологий автоматизированных систем

Лабораторная работа №2
«Многомерные распределения теории вероятностей
и математической статистики»
по дисциплине «Статистические методы обработки данных»

Вариант 7

Выполнили:
ст. гр. 820601
Шведов А.Р
Пальчик А.М.

Проверил:
Ярмолик В.И.

Минск 2021

1 ЦЕЛЬ РАБОТЫ

Изучение многомерных распределений теории вероятностей и математической статистики;

Исследование многомерных распределений теории вероятностей и математической статистики с помощью средств *Matlab*.

2 ВЫПОЛНЕНИЕ РАБОТЫ

2.1 Исследование графиков плотности вероятности двумерных распределений

Вывести на экран монитора график поверхности и линии равных уровней плотности вероятности заданного двумерного распределения (при $m=2$) и исследовать его зависимость от параметров распределений.

В данной работе рассмотрим равномерное распределение в гиперпрямоугольнике $U_m((a_1, b_1), (a_2, b_2), \dots, (a_m, b_m))$, плотность распределения которого задается формулой:

$$f_{\bar{\xi}}(\bar{x}) = \begin{cases} \prod_{i=1}^m \frac{1}{(b_i - a_i)}, & a_i \leq \forall x_i \leq b_i, \ a_i < b_i, \\ 0, & (\exists x_i) \ x_i > b_i, \ x_i < a_i. \end{cases}$$

Здесь a, b – границы интервала распределения.

Сформируем массив значений f функции с помощью двух вложенных циклов *for*. Таким образом для каждой пары значений $(x; y)$ можно вычислить значение плотности распределения по заданной формуле. Зададим параметры распределения $a_1=1, b_1=3$ – для первого измерения, $a_2=1, b_2=4$ – для второго измерения. Код программы *Matlab* покажем на рисунке 2.1:

```

1: clc;
2: clear;
3: a1=1;
4: b1=3;
5: a2=1;
6: b2=4;
7: [x1,x2]=meshgrid(0:0.25:10,0:0.25:10);
8: n=length(x1);
9: m=length(x2);
10: for i=1:n
11:     for j=1:m
12:         if ( (x1(i,j)>a1) && (x1(i,j)<b1) && (a1<b1) ) && ( (x2(i,j)>a2) && (x2(i,j)<b2)
&& (a2<b2) ) )
13:             f(i,j)=1/((b1-a1)*(b2-a2));
14:         else
15:             f(i,j)=0;
16:         end
17:     end
18: end
19: figure
20: mesh(x1,x2,f);
21: figure
22: contour(x1,x2,f,1,'b');

```

Рисунок 2.1 – Код программы

Результат выполнения программы представлен на рисунках 2.2-2.3:

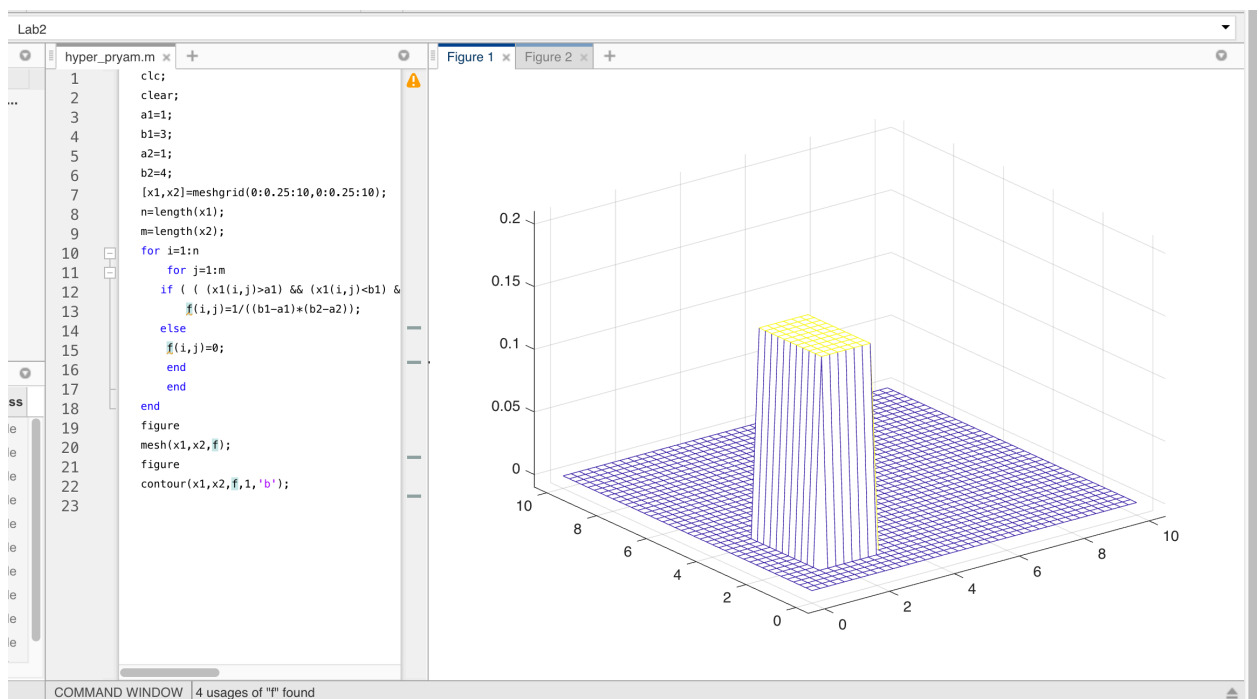


Рисунок 2.2 – График поверхности равномерного распределения в гиперпрямоугольнике

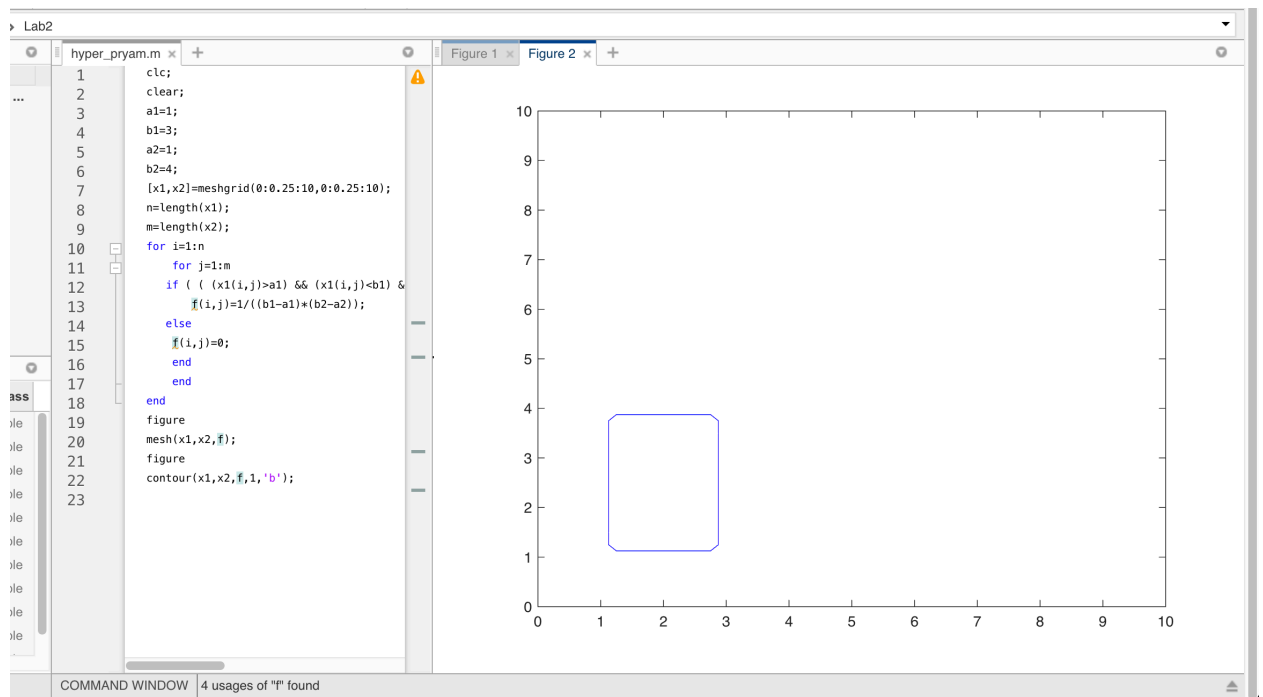


Рисунок 2.3 – Линии равных уровней плотностей вероятностей

Исследуем зависимость значений функции от параметров распределений. Изменим параметры для первого измерения ($a_1=2$, $b_1=3$), оставив параметры второго распределения неизменными и равными $a_2=1$, $b_2=4$. Результат выполнения программы с измененными параметрами представлен на рисунках 2.4 и 2.5:

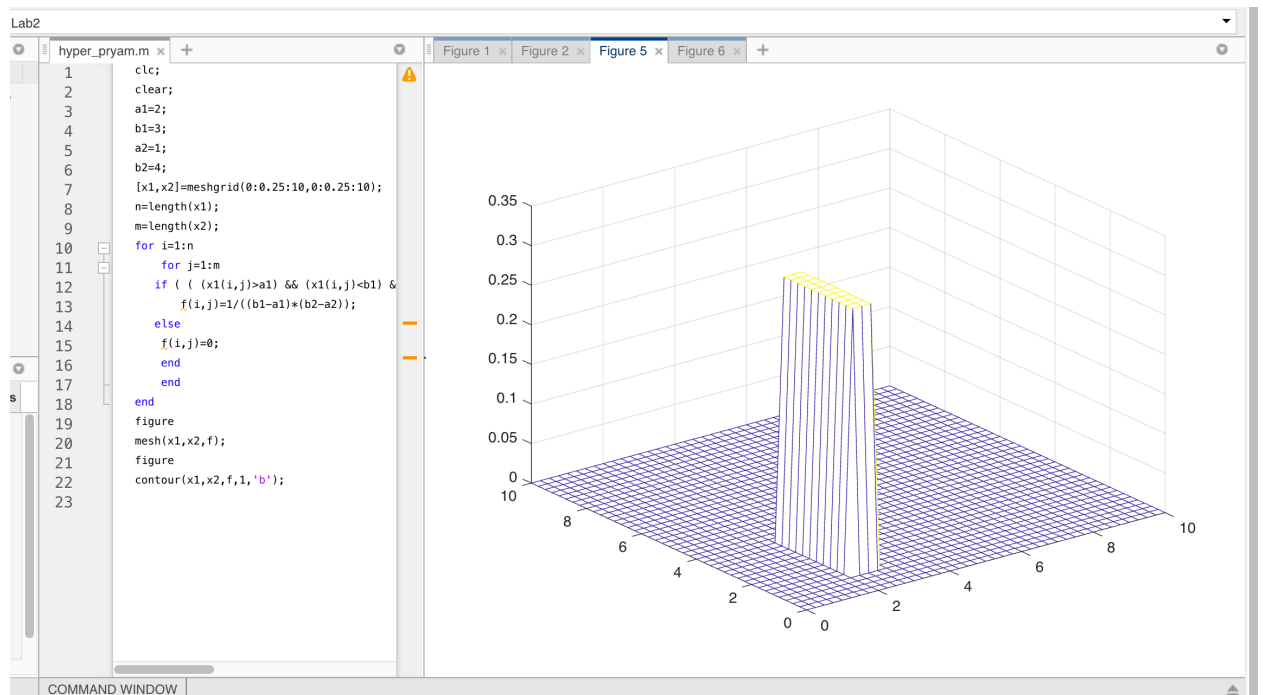


Рисунок 2.4 – График поверхности равномерного распределения в гиперпрямоугольнике

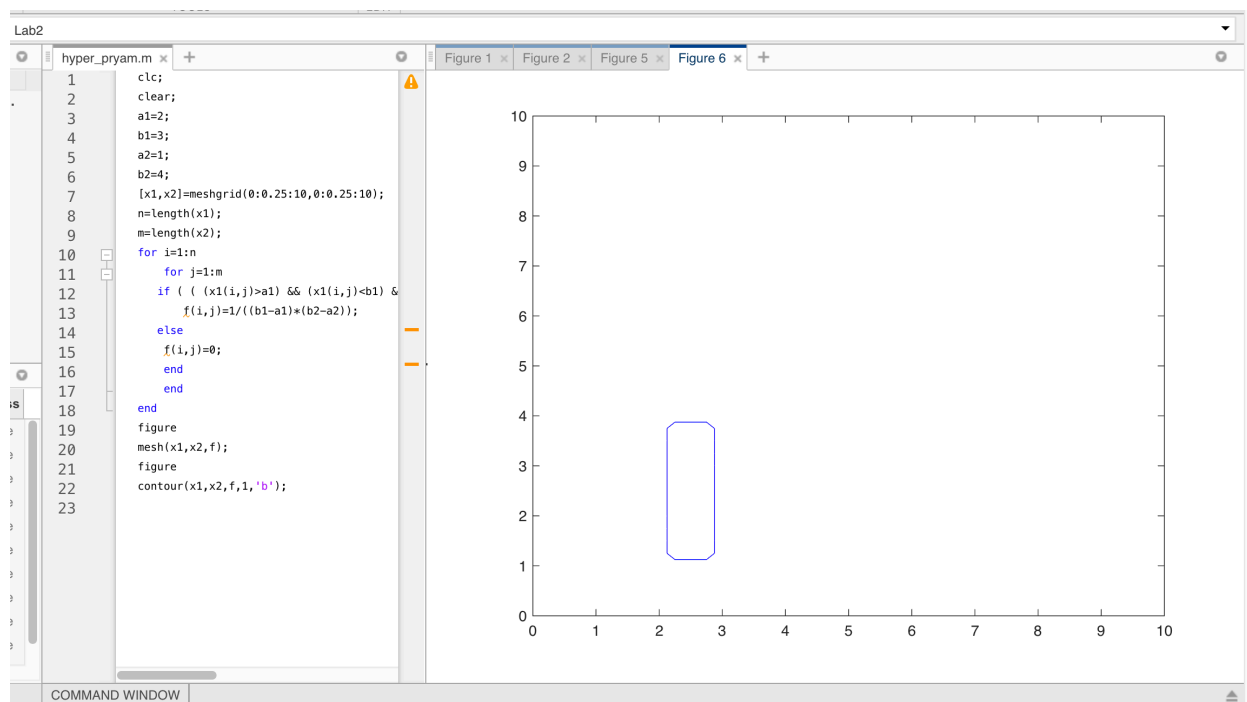


Рисунок 2.5 – Линии равных уровней плотностей вероятностей

Видно, что с уменьшением длины интервала $(a_1; b_1)$ значение плотности распределения f увеличивается.

Теперь исследуем зависимость значения функции от параметров второго измерения. Примем $a_2=2$, $b_2=7$, оставив значения параметров первого измерения равными $a_1=1$, $b_1=3$.

Результат выполнения программы с измененными параметрами представлен на рисунках 2.6 и 2.7:

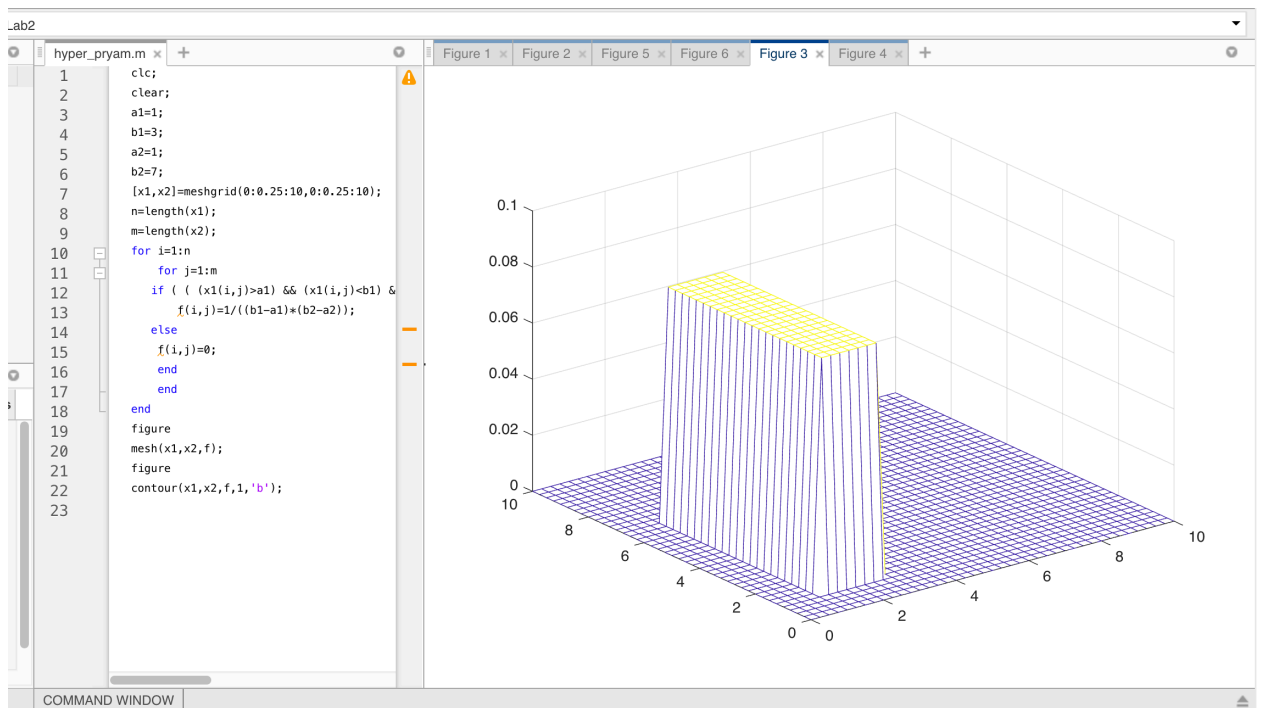


Рисунок 2.6 – График поверхности равномерного распределения в гиперпрямоугольнике

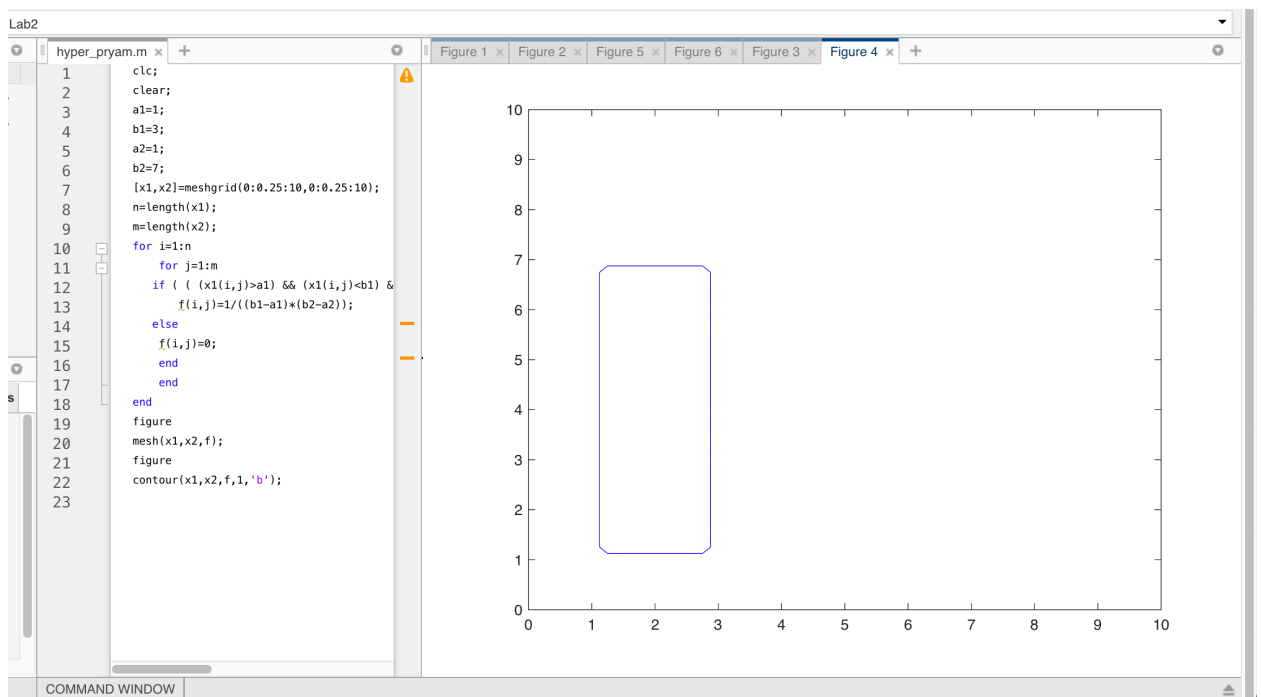


Рисунок 2.7 – Линии равных уровней плотностей вероятностей

Видим, что с увеличением длины интервала ($a_2; b_2$) значение плотности распределения z уменьшается.

2.2 Исследование эллипса рассеяния и функций регрессии для нормального распределения

Для нормального распределения в одно графическое окно вывести эллипс рассеяния и две функции регрессии. Исследовать зависимость формы и площади эллипса рассеяния от коэффициента корреляции при заданных дисперсиях компонент случайного вектора. Исследовать взаимное расположение функций регрессии и осей эллипса рассеяния (совпадают ли функции регрессии с осями эллипса?).

В данной работе рассмотрим двухмерное нормальное распределение, плотность вероятности которого задается формулой:

$$f_{\xi}(x_1, x_2) = \frac{1}{2\pi\sigma_1\sigma_2\sqrt{1-r_{1,2}^2}} \exp\left(-\frac{1}{2}\varphi(x_1, x_2)\right), \text{ где}$$
$$\varphi(x_1, x_2) = \left(\frac{1}{(1-r_{1,2}^2)} \left(\frac{(x_1 - a_1)^2}{\sigma_1^2} - 2r_{1,2} \frac{(x_1 - a_1)}{\sigma_1} \frac{(x_2 - a_2)}{\sigma_2} + \frac{(x_2 - a_2)^2}{\sigma_2^2} \right) \right)$$

Где r – коэффициент корреляции $(-1;1)$, выражающий линейную зависимость м/у 2 ф-ми, φ – относительная дисперсия. $x1, x2$ – ф-ции регрессии. Код программы *Matlab* и результат выполнения покажем на рисунках 2.8 и 2.9, 2.10:

```
23: clc;
24: clear;
25: a1=3;
26: a2=1;
27: [x1,x2]=meshgrid(-10:0.5:10,-10:0.5:10);
28: R=[9 2;3 4];
29: r12=R(1,2)/sqrt(R(1,1)*R(2,2));
30: sig1=sqrt(R(1,1));
31: sig2=sqrt(R(2,2));
32: n=length(x1);
33: for i=1:n
34:     for j=1:n
35: f(i,j)=((1/(1-r12^2))*((x1(i,j)-a1)^2/sig1^2-2*r12*(x1(i,j)-a1)*(x2(i,j)-a2)/(sig1*sig2)+(x2(i,j)-a2)^2/sig2^2));
36: f1(i,j)=1/(2*pi*sig1*sig2*sqrt(1-r12^2))*exp(-1/2*f(i,j));
37:     end
38: end
39: mesh(x1,x2,f1)
40: grid on
```

Рисунок 2.8 – Код программы

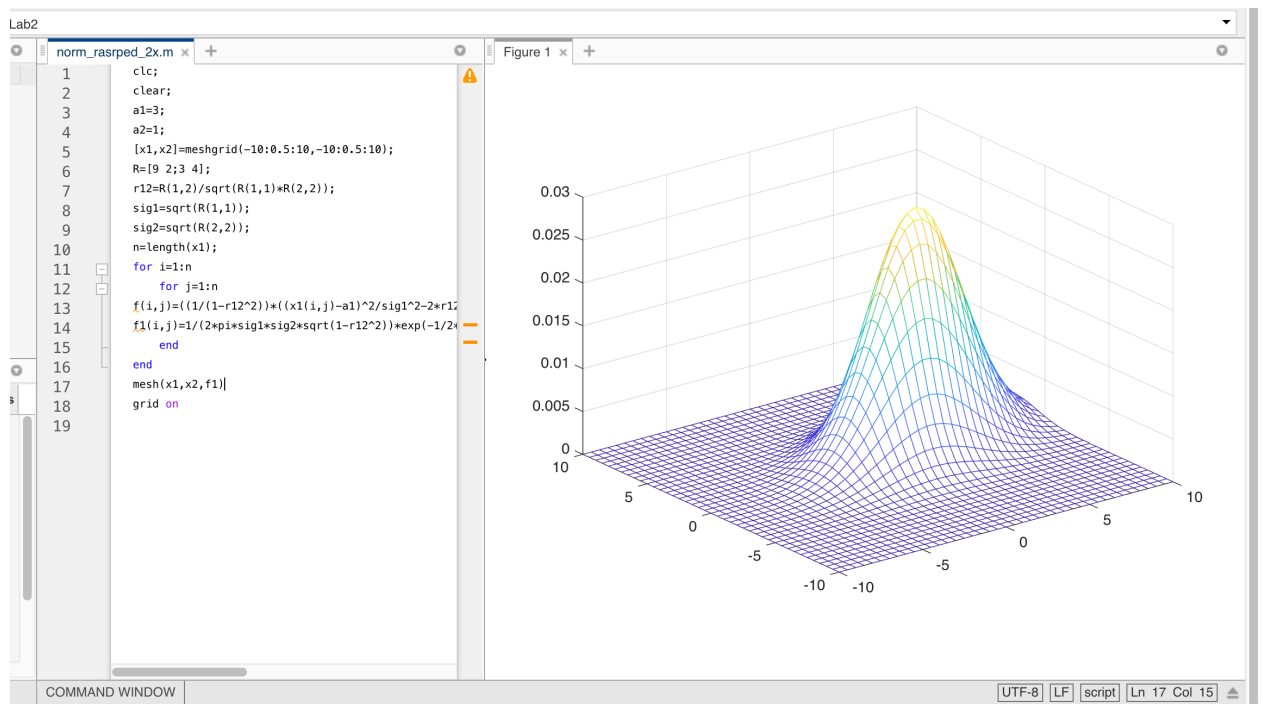


Рисунок 2.9 – Плотность вероятности двухмерного нормального распределения

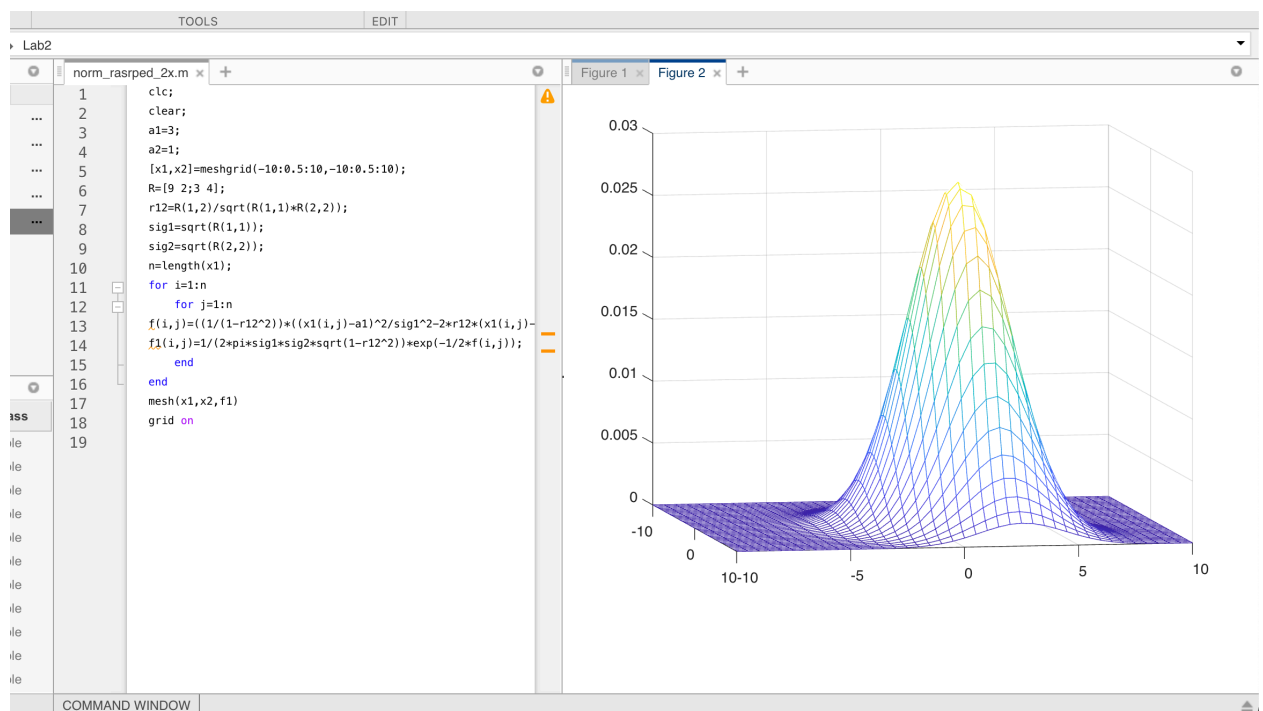


Рисунок 2.10 – Плотность вероятности двухмерного нормального распределения

Исследуем зависимость формы и площади эллипса рассеяния от коэффициента корреляции при заданных дисперсиях компонент случайного вектора.

Для двумерного нормального распределения функция регрессии ξ_2 на ξ_1 определяется выражением

$$x_2 = a_2 + r_{1,2} \frac{\sigma_2}{\sigma_1} (x_1 - a_1),$$

а функция регрессии ξ_1 на ξ_2 – выражением

$$x_1 = a_1 + r_{1,2} \frac{\sigma_1}{\sigma_2} (x_2 - a_2).$$

```

41: clc;
42: clear;
43: x1=-22:0.5:22;
44: x2=-22:0.5:22;
45: a1=1;
46: a2=2;
47: R=[9 1;3 4];
48: %R=[9 3;3 4];
49: %R=[9 0;3 4];
50: r12=R(1,2)/sqrt(R(1,1)*R(2,2));
51: sig1=sqrt(R(1,1));
52: sig2=sqrt(R(2,2));
53: s=4*pi*sqrt(sig1^2*sig2^2-r12^2*sig1^2*sig2^2);
54: n=length(x1);
55: for i=1:n
56:     for j=1:n
57: f(i,j)=((1/(1-r12^2))*((x1(i)-a1)^2/sig1^2-2*r12*(x1(i)-a1)*(x2(j)-a2)/(sig1*sig2)+(x2(j)-a2)^2/sig2^2)));
58:     end
59: end
60: contour(x1,x2,f,1)
61: grid on
62: hold on
63: r2=a2+(r12*sig2/sig1)*(x1-a1);
64: r1=a1+(r12*sig1/sig2)*(x2-a2);
65: plot(x2,r1,r2,x1)
66: hold off

```

Рисунок 2.11 – Код программы

Различные коэффициенты корреляции при неизменных дисперсиях получим изменением значения $R_{1,2}$ в матрице R . Первое построение выполним для матрицы $R = \begin{bmatrix} 9 & 1 \\ 3 & 4 \end{bmatrix}$ (рисунок 2.11), затем выполним построение для $R_{1,2}=3$ (рисунок 2.12) и $R_{1,2}=0$ (рисунок 2.13).

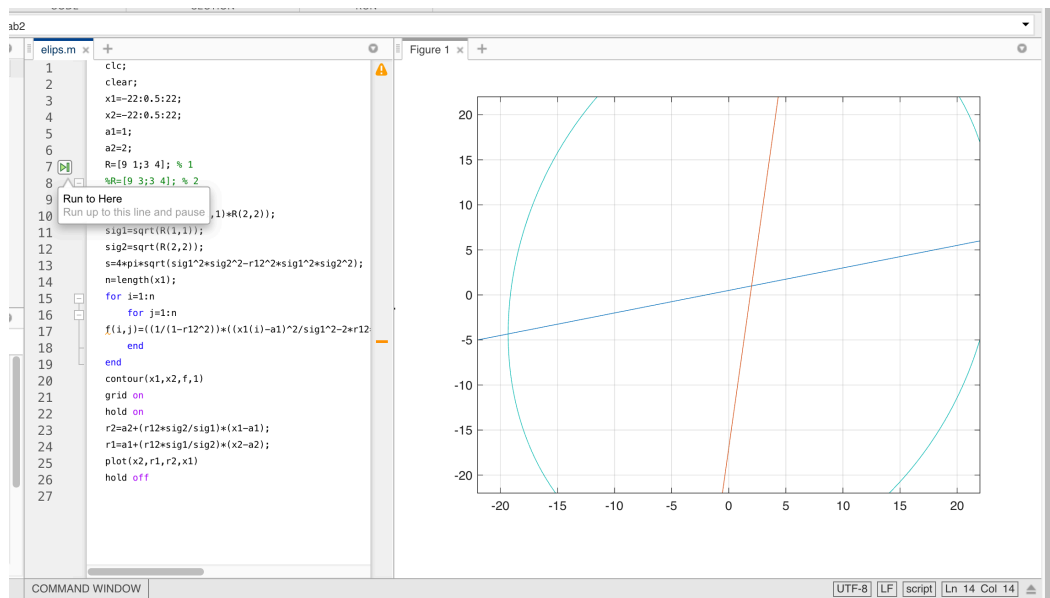


Рисунок 2.12 – Эллипс рассеяния и функции регрессии

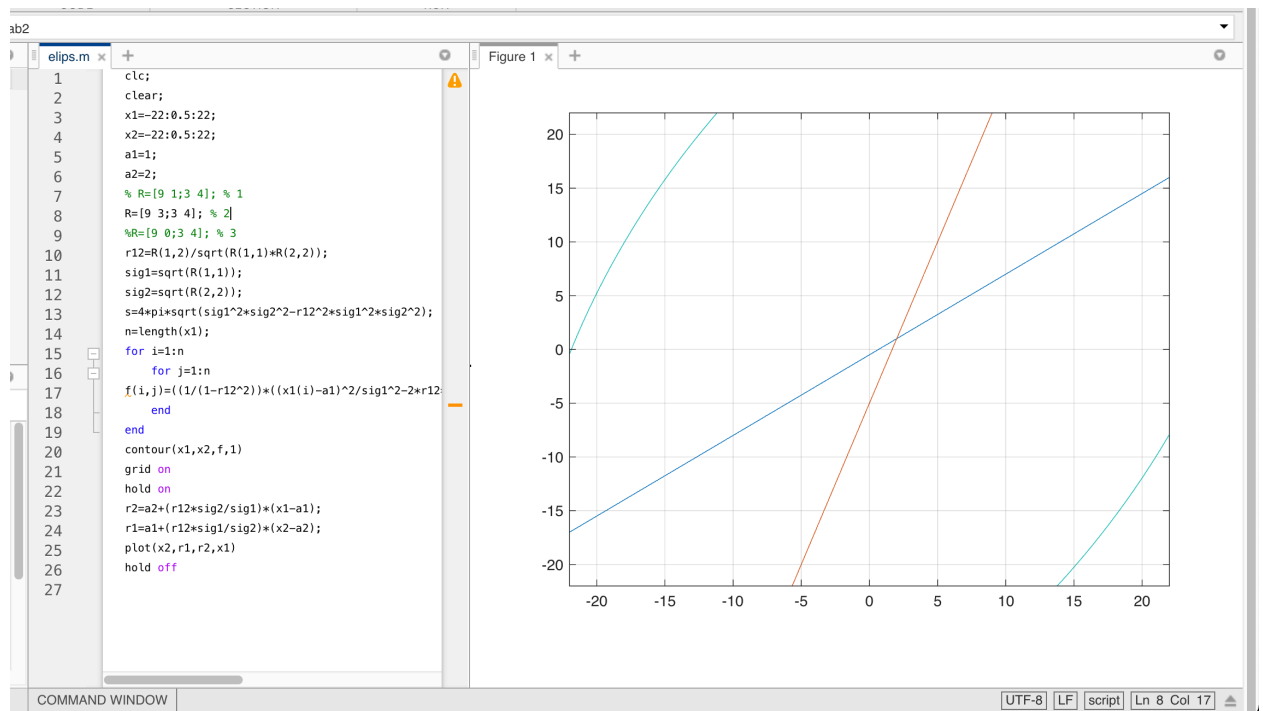


Рисунок 2.13 – Эллипс рассеяния и функции регрессии

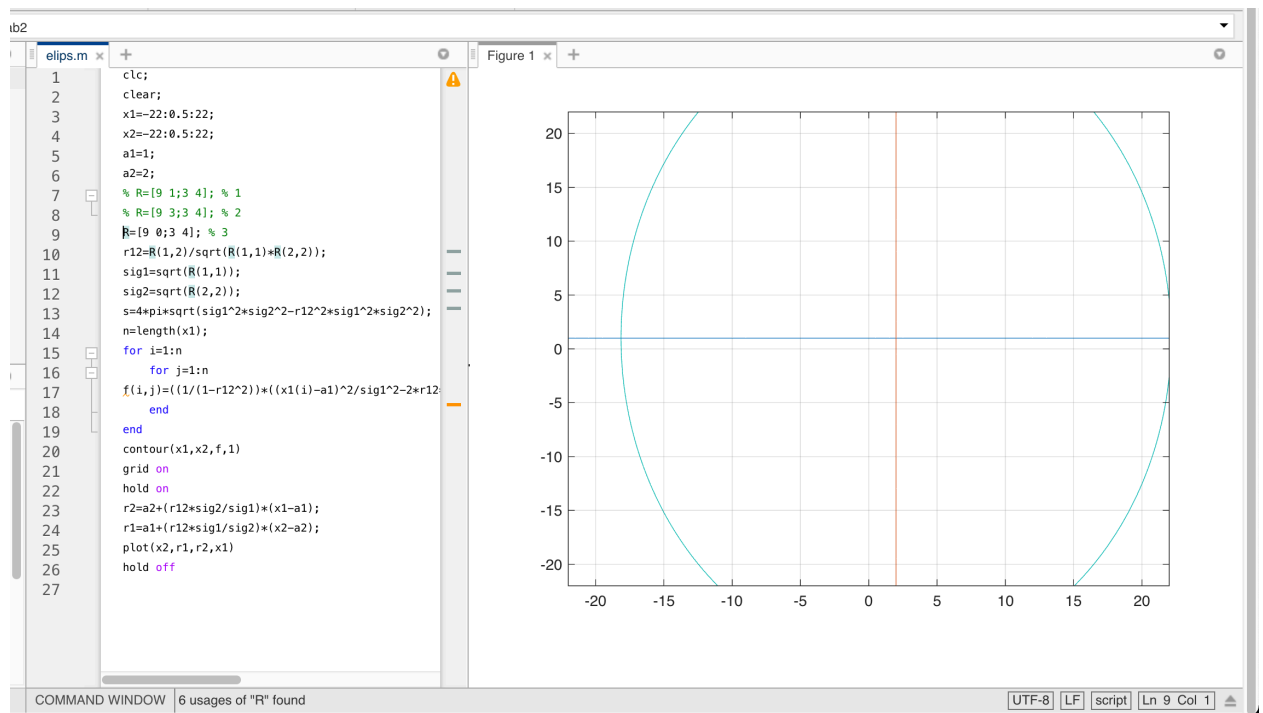


Рисунок 2.14 – Эллипс рассеяния и функции регрессии

3 ВЫВОД

Для равномерного распределения в гиперпрямоугольнике построили графики поверхностей и линии равных уровней плотностей вероятности, исследовали их зависимость от параметров распределений. Для нормального распределения построили линии равных уровней плотностей вероятностей и линии регрессии.